



**Die folgenden Zuschriften wurden von mindestens zwei Gutachtern als sehr wichtig (very important papers) eingestuft und sind in Kürze unter [www.angewandte.de](http://www.angewandte.de) verfügbar:**

B. L. Merner, L. N. Dawe, G. J. Bodwell\*

**1,1,8,8-Tetramethyl[8](2,11)teropyrenophane: Half of an Aromatic Belt and a Segment of an (8,8) Single-Walled Carbon Nanotube**

B. Liu, H. Wang, H. Xie, B. Zeng, J. Chen, J. Tao, T. B. Wen, Z. Cao, H. Xia\*

**Osmapyridine and Osmapyridinium from a Formal [4+2] Cycloaddition Reaction**

J. Tolosa, C. Kub, U. H. F. Bunz\*

**Hyperbranched: A Universal Conjugated Polymer Platform?**

D. Xu, Z. Liu, H. Yang, Q. Liu, J. Zhang, J. Fang,\* S. Zou,\* K. Sun  
**Solution-Based Evolution of Monodisperse Pt–Cu Nanocubes and Their Enhanced Methanol Oxidation Activity**

J. L. Alonso-Gómez, P. Rivera-Fuentes, N. Harada, N. Berova, F. Diederich\*

**An Enantiomerically Pure Alleno-Acetylenic Macrocycle: Synthesis and Rationalization of Its Outstanding Chiroptical Response**

P. García-García, M. A. Fernández-Rodríguez, E. Aguilar\*  
**Gold-Catalyzed Cycloaromatization of 2,4-Dien-6-yne Carboxylic Acids: Synthesis of 2,3-Disubstituted Phenols and Unsymmetrical Bi- and Terphenyls**

H. Jiang, P. Elsner, K. L. Jensen, A. Falcicchio, V. Marcos, K. A. Jørgensen\*

**Achieving Molecular Complexity by Organocatalytic One-Pot Strategies: A Fast Entry for the De Novo Synthesis of Sphingoids, Amino Sugars and Polyhydroxylated  $\alpha$ -Amino Acids**

P. A. Rupar, R. Bandyopadhyay, B. F. T. Cooper, M. R. Stinchcombe, P. J. Ragogna, C. L. B. Macdonald,\* K. M. Baines\*  
**Cationic Crown Ether Complexes of Germanium(II)**

X. Zeng, H. Beckers, H. Willner\*

**Difluoro- $\lambda^5$ -Phosphinonitrile  $F_2P=N$ : Matrix Isolation and Photoisomerization into  $FP=N$ F**

H. Huang, B. Chung, J. Jung, H.-W. Park, T. Chang\*  
**Toroidal Micelles of Uniform Size from Diblock Copolymer**

R. Koller, K. Stanek, D. Stoltz, R. Aardoom, K. Niedermann, A. Togni\*

**Zn-Mediated Formation of Trifluoromethyl Ethers From Alcohols Using Hypervalent Iodine Trifluoromethylation Reagents**

A. D. Payne, G. Bojase, M. N. Paddon-Row,\* M. S. Sherburn\*  
**Practical Synthesis of the Dendralene Family Reveals Alternation in Behavior**

A. S. Iyer, L. A. Lyon\*

**Self-Healing Colloidal Crystals**

## Autoren-Profile



„Morgens nach dem Aufstehen mache ich Ruder-Training. Mit achtzehn wollte ich Morrissey sein. ...“

Dies und mehr von und über Benjamin G. Davis finden Sie auf Seite 3958.

Benjamin G. Davis 3958

## Nachrichten



A. Kobayashi



E. Kumacheva



T. Nyokong

Materialwissenschaften:  
L'Oréal-UNESCO-Preise für  
A. Kobayashi, E. Kumacheva  
und T. Nyokong 3959

## Bücher

Highlights in Colloid Science

D. Platikanov, D. Exerowa

rezensiert von J.-H. Fuhrhop **3960**

Metal Oxide Catalysis

S. David Jackson, Justin S. J. Hargreaves

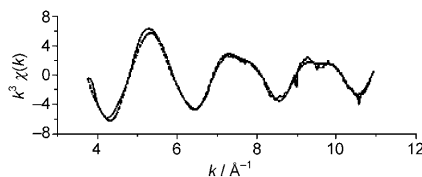
rezensiert von G. Thornton **3961**

## Highlights

### Heterogene Katalyse

J. M. Thomas,\*  
J.-C. Hernandez-Garrido **3962–3965**

Untersuchung von Festkatalysatoren  
unter Betriebsbedingungen: Elektronen  
oder Röntgenstrahlen?

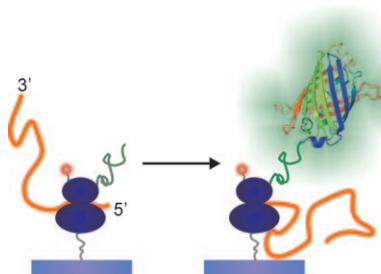


**Sehen ist Glauben:** Anhand neuer Forschungsergebnisse werden die Vor- und Nachteile von Elektronen und Röntgenstrahlen für die In-situ-Untersuchung von Katalysatoren erörtert und verglichen. Mit Röntgenstrahlen lässt sich z. B. die Struktur gebundener Reaktionspartner im stationären Zustand aus EXAFS-Daten ermitteln (siehe Bild), und man kann auf mechanistische Details schließen.

### Einzelmoleküluntersuchungen

M. Heilemann\* **3966–3968**

Licht am Ende des Tunnels

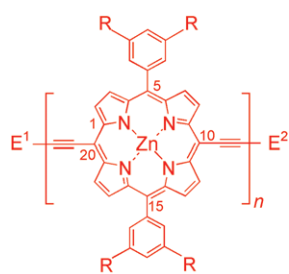


**Die Kinetik der Synthese, Faltung und Reifung** einzelner Moleküle des grün fluoreszierenden Proteins (GFP) wurde an einem Translations-Transkriptions-System in vitro mithilfe von Einzelmolekülmikroskopie untersucht. Dazu wurden einzelne, mit einem roten Fluoreszenzfarbstoff markierte Ribosomen auf einer Oberfläche angebracht. Vollständig gereifte GFP-Emerald-Moleküle wurden anhand ihrer grünen Fluoreszenz erkannt.

### Leitfähige Oligomere

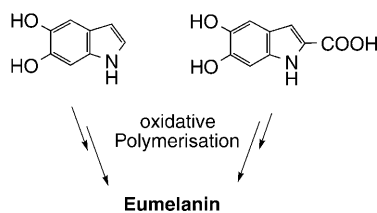
H. Meier\* **3969–3971**

Hohe elektrische Leitfähigkeit einzelner Moleküle – eine Herausforderung in der Reihe der konjugierten Oligomere



**Auf dem Weg zu molekularer Elektronik:** Ausgedehnte konjugierte Oligomere sind wünschenswert für die molekulare Elektronik, ihre elektrische Leitfähigkeit sollte hierfür jedoch einen niedrigen Abklingfaktor aufweisen. Nun wurden die abgebildeten Zink-komplexierten Oligo(ethiénylenporphyrindiyethiénylene) entwickelt, die sich durch ultraniedrige Abklingfaktoren der Einzelmolekül-Leitfähigkeit auszeichnen.

## Kurzaufsätze



Durch oxidative Polymerisation von 5,6-Dihydroxyindolen (siehe Schema) entsteht Eumelanin, ein charakteristisch schwarzes, unlösliches Biopolymer mit heterogener Struktur und einzigartigen optoelektronischen Eigenschaften. Ein Strukturmodell wird vorgestellt, und Anwendungsmöglichkeiten werden diskutiert.

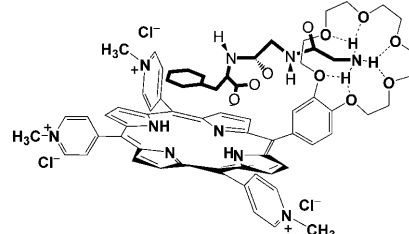
### Biopolymere

M. d'Ischia,\* A. Napolitano, A. Pezzella, P. Meredith,\* T. Sarna\* — 3972–3979

Chemische und strukturelle Vielfalt der Eumelanine – ein kaum erforschtes optoelektronisches Biopolymer

## Aufsätze

### Supramolekulare Chemie



H.-J. Schneider\* — 3982–4036

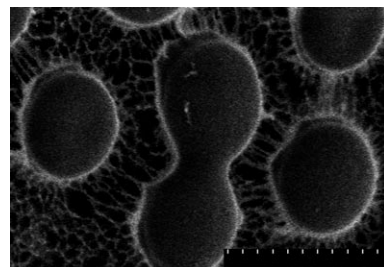
Bindungsmechanismen in supramolekularen Komplexen

## Zuschriften

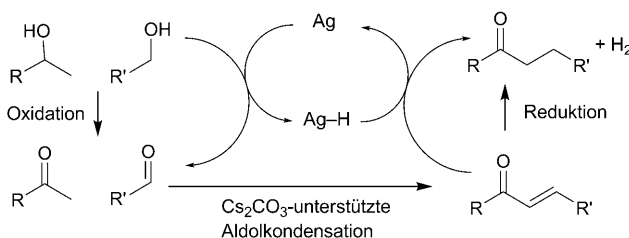
### Emulsionen

B. Brugger, S. Rütten, K.-H. Phan, M. Möller, W. Richtering\* — 4038–4041

The Colloidal Suprastructure of Smart Micogels at Oil–Water Interfaces



**Ordnung im Ölfilm:** Mithilfe von reizempfindlichen Emulsionen wurden temperatur- und pH-responsive Mikrogele entwickelt. Die Emulsionsstabilität an den Öl-Wasser-Grenzflächen wird nicht durch die Packungsdichte der Partikel bestimmt. Durch die Grenzfläche ausgelöste Strukturänderungen führen zur Verknüpfung der Mikrogele (siehe Bild; Maßstab 1  $\mu$ m), die sich in ihrem Verhalten deutlich von Festpartikel-stabilisierten Emulsionen unterscheiden.



### Heterogene Katalyse

K.-i. Shimizu,\* R. Sato, A. Satsuma — 4042–4046

Direct C–C Cross-Coupling of Secondary and Primary Alcohols Catalyzed by a  $\gamma$ -Alumina-Supported Silver Subnanocluster

**Zum Wohl!** Zwei Alkohole (ein primärer und ein sekundärer) werden mithilfe eines Katalysesystems in Form von Silber-Subnanoclustern auf  $\gamma$ -Al<sub>2</sub>O<sub>3</sub> durch Wasserstoffautotransfer atomeffizient gekuppelt.

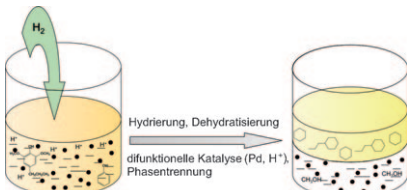
Der wiederverwendbare Heterogenkatalysator fördert die Eintopf-C–C-Kreuzkupplung in Gegenwart katalytischer Mengen der schwachen Base Cs<sub>2</sub>CO<sub>3</sub> (siehe Reaktionsmechanismus).

# Unglaublich preiswert,-



**Sind chemische Fachzeitschriften wirklich teuer?** Manche vielleicht, die *Angewandte Chemie* sicher nicht! 2008 hatte ein ganzes Institut für rund 5000 € über Wiley InterScience\* elektronisch Zugriff auf 52 Ausgaben der Zeitschrift mit ca. 2000 Beiträgen und allen Online-Rechercheoptionen – und für nur 5 % mehr konnte es zusätzlich das gedruckte Heft beziehen. GDCh-Vollmitglieder kostete ein persönliches Abonnement etwas mehr als 300 €, und studentische GDCh-Mitglieder zahlten weniger als 150 € pro Jahr, also knapp 3 € pro Heft! – ein Preis, der sich sogar mit auflagenstarker Kioskware messen kann.

\*www.interscience.wiley.com



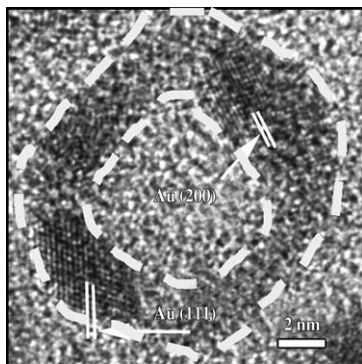
**Öl und Wasser:** Eine neue energieeffiziente und atomökonomische katalytische Produktion von Alkanen und Methanol durch Veredelung der phenolischen Fraktion von Bioöl wird vorgestellt. Der in wässriger Phase durchgeführte Eintopf-Hydrodesoxygenierungsprozess nutzt zwei Katalysatoren, was die Teilreaktionen Hydrierung, Hydrolyse und Dehydratisierung erleichtert.

## Biotreibstoffe

C. Zhao, Y. Kou,\* A. A. Lemonidou, X. Li, J. A. Lercher\* **4047–4050**



Highly Selective Catalytic Conversion of Phenolic Bio-Oil to Alkanes



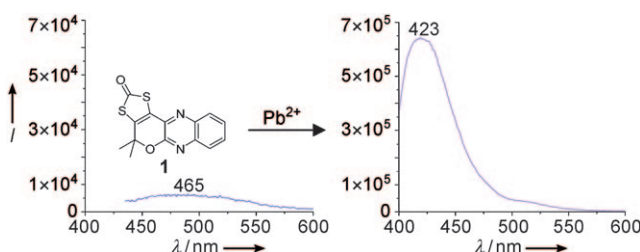
**Bleiernes Gold:** Hohle  $\text{PbS}_x$ -Au-Hybrid-nanostrukturen von etwa 10 nm Durchmesser wurden unter milden experimentellen Bedingungen mithilfe einer einstufigen Reaktion synthetisiert. Die Redoxreaktion von Goldvorstufen mit  $\text{PbS}$ -Nanokristallen in Gegenwart von Dodecylamin liefert die hohen Hybridnanostrukturen (siehe Bild).

## Nanostrukturen

J. Yang,\* J. Peng, Q. B. Zhang, F. Peng, H. Wang, H. Yu **4051–4055**



One-Step Synthesis and Characterization of Gold–Hollow  $\text{PbS}_x$  Hybrid Nanoparticles



**Hochgefahren** wird die Emissionsintensität des Heterocyclus **1** beim Binden an  $\text{Pb}^{2+}$ . Damit fungiert **1** als niedermolekularer „Anschalt“-Fluoreszensensor

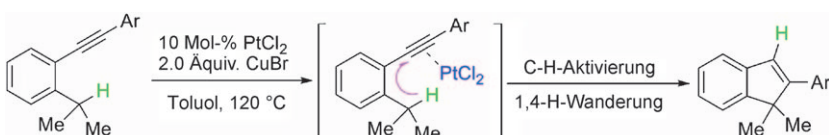
für Blei. Der Sensor ist hochselektiv und funktioniert über einen großen pH-Bereich.

## Bleisensoren

L. Marbella, B. Serli-Mitasev, P. Basu\* **4056–4058**



Development of a Fluorescent  $\text{Pb}^{2+}$  Sensor



**In-den Ring:**  $\text{PtCl}_2$  katalysiert die Cyclisierung von *o*-Isopropyl- und *o*-Benzylarylalkinen zu Indenderivaten, die in guten Ausbeuten und mit hohen Selektivitäten

entstehen. Der Reaktionsmechanismus scheint eine  $\text{sp}^3$ -C-H-Aktivierung und eine 1,4-Wasserstoffwanderung einzuschließen (siehe Schema).

## C-H-Aktivierung

S. Yang, Z. Li, X. Jian, C. He\* **4059–4061**

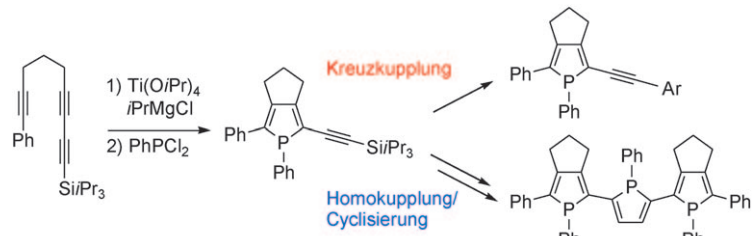


Platinum(II)-Catalyzed Intramolecular Cyclization of *o*-Substituted Aryl Alkynes through  $\text{sp}^3$  C–H Activation

## Phosphole

Y. Matano,\* M. Nakashima,  
H. Imahori **4062–4065**

 A Convenient Method for the Synthesis of  $\alpha$ -Ethynylphospholes and Modulation of Their  $\pi$ -Conjugated Systems



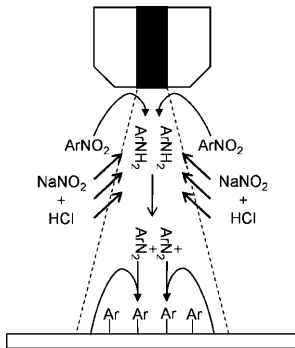
**Lücken nach Wunsch:**  $\alpha$ -Ethynylphospholes, die *in situ* aus den entsprechenden silylierten Vorstufen erzeugt wurden, liefern eine Serie von  $\alpha$ -(Arylethynyl)phospholen mit funktionellen Substituenten

sowie ein  $\alpha,\alpha'$ -verknüpftes Terphosphol (siehe Schema), das wegen der effizienten  $\pi$ -Konjugation über drei Phospholringe eine schmale HOMO-LUMO-Lücke aufweist.

## Diazoniumchemie

C. Cougnon,\* F. Gohier, D. Bélanger,  
J. Mauzeroll **4066–4068**

 In Situ Formation of Diazonium Salts from Nitro Precursors for Scanning Electrochemical Microscopy Patterning of Surfaces



**Spitzenchemie:** Die *In-situ*-Herstellung von Diazoniumsalzen aus Nitroverbindungen ermöglicht es, Diazoniumchemie zur mikroelektrochemischen Bildung von Oberflächenmustern durch elektrochemische Rastersondenmikroskopie zu nutzen. Die Nitrovorstufe wird an der Spitze zum Amin reduziert, das während seiner Diffusion zur Oberfläche diazotiert wird (siehe Bild). Die Spitze wirkt als eine Quelle von Diazoniumsalzen, die eine Probenderivatisierung direkt unterhalb der Spitze ermöglicht.

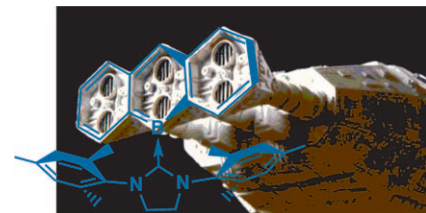
## Borheterocyclen

T. K. Wood, W. E. Piers,\* B. A. Keay,  
M. Parvez **4069–4072**

 9-Boraanthracene Derivatives Stabilized by N-Heterocyclic Carbenes

### 2009: Ende der Boraanthracen-Odyssee:

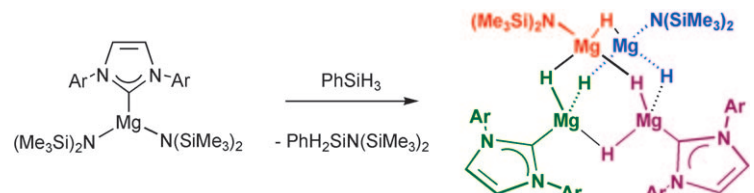
Allgemeine Reaktionswege führen zu Boraanthracen-Derivaten, die lange postuliert, aber noch nicht beobachtet wurden. Strukturen, photophysikalische Eigenschaften und die bemerkenswerte Reaktionsfähigkeit der Produkte mit Sauerstoff werden beschrieben.



## Clusterchemie

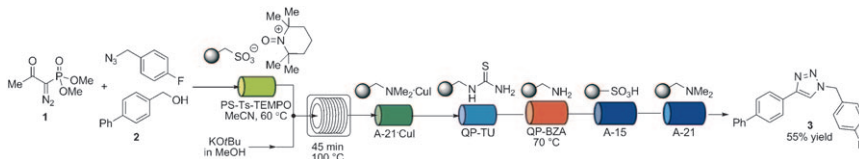
M. Arrowsmith, M. S. Hill,\*  
D. J. MacDougall,  
M. F. Mahon **4073–4076**

A Hydride-Rich Magnesium Cluster



**Eine glatte Reaktion** zwischen dem Magnesiumsilylamidoaddukt eines N-heterocyclischen Carbens und Phenylsilan ergibt ein  $\{Mg_4H_6\}$ -Clustermolekül, das

als eine Art Käfig bestehend aus zwei Magnesiumdihydriden und zwei Magnesiummonohydriden beschrieben werden kann.



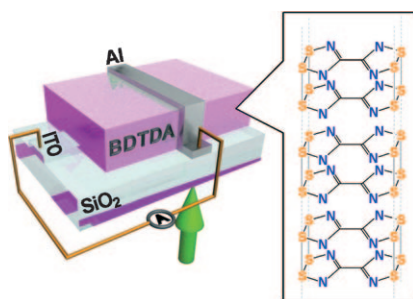
**Mehrstufig und fließend:** Das Seydel-Gilbert-Reagens **1** wurde in einem Durchfluss-System zur schnellen Synthese von terminalen Alkinen eingesetzt. Weitere Anwendung fand das System bei der Synthese des Triazols **3** aus dem Alkohol **2**

in einer dreistufigen Sequenz aus Oxidation, Homologisierung und Kupfer(I)-katalysierter Azid-Alkin-Cycloaddition ohne Isolierung von Zwischenstufen (siehe Schema).

## Durchflusssynthese

I. R. Baxendale, S. V. Ley,\* A. C. Mansfield, C. D. Smith ————— 4077–4081

Multistep Synthesis Using Modular Flow Reactors: Bestmann–Ohira Reagent for the Formation of Alkynes and Triazoles

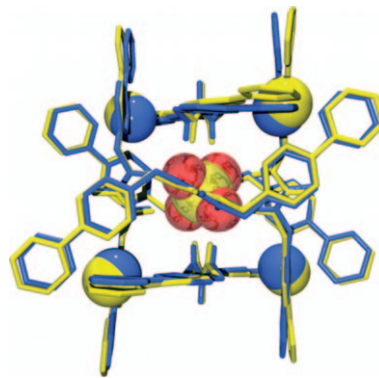


**Überlappende ausgedehnte unbesetzte Molekülorbitale** haben eine hohe Photoleitfähigkeit wechselwirkender Radikal-dimere zur Folge. Sandwich-Zellen (siehe Bild; ITO = Indiumzinnoxid) mit hochorientierten dünnen Filmen des nicht-konjugierten Diradikals 4,4'-Bis(1,2,3,5-dithiadiazolyl) (BDTDA) liefern einen Photostrom mit hohem An/Aus-Verhältnis bei Sperrvorspannungen und verhalten sich photovoltaisch bei einer Vorspannung von null.

## Organische Elektronik

A. Iwasaki, L. Hu, R. Suizu, K. Nomura, H. Yoshikawa, K. Awaga,\* Y. Noda, K. Kanai, Y. Ouchi, K. Seki, H. Ito ————— 4082–4084

Interactive Radical Dimers in Photoconductive Organic Thin Films

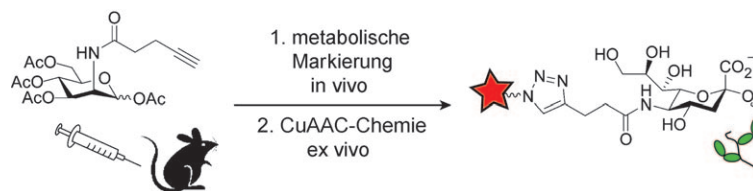


**Maßanfertigung:** Eine neue computer-gestützte Methode wird vorgestellt, um effizientere selbstorganisierte Käfigrezeptoren zu erhalten. Der resultierende tetraedrische  $M_4L_6$ -Käfig mit exakt positionierten H-Brücken-bildenden Harnstoffgruppen (siehe Struktur; gelb: Vorschlag, blau: experimentell ermittelt, Kalottenmodell:  $SO_4^{2-}$ ) erwies sich in Wasser als bemerkenswert starker Sulfat-rezeptor.

## Selbstorganisierte Käfige

R. Custelcean,\* J. Bosano, P. V. Bonnesen, V. Kertesz, B. P. Hay\* ————— 4085–4089

Computer-Aided Design of a Sulfate-Encapsulating Receptor



**Süße Hilfe:** Sialinsäuren spielen bei vielen Wirt-Pathogen-Erkennungseignissen eine Rolle und markieren embryonale und bösartige Gewebe, was zu einem großen Interesse an Verfahren zur Anreicherung und Identifizierung sialylierter Glycopro-

teine in komplexen Geweben führt. Nun kann *N*-(4-Pentinoyl)mannosamin zur metabolischen Markierung sialylierter Glycoproteine in lebenden Tieren genutzt werden.

## Glycobiologie

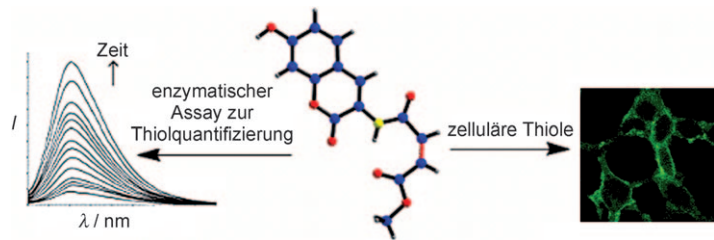
P. V. Chang, X. Chen, C. Smyrniotis, A. Xenakis, T. Hu, C. R. Bertozzi,\* P. Wu\* ————— 4090–4093

Metabolic Labeling of Sialic Acids in Living Animals with Alkynyl Sugars



## Fluoreszenzsonden

L. Yi, H. Li, L. Sun, L. Liu, C. Zhang,  
Z. Xi\* **4094–4097**



- █ A Highly Sensitive Fluorescence Probe for Fast Thiol-Quantification Assay of Glutathione Reductase

Die schnelle Detektion zellulärer Thiole in wässrigem Medium gelingt mithilfe einer neuen Fluoreszenzsonde (siehe Bild). Ein

Hochdurchsatz-Fluoreszenzassay für Glutathion-Reduktase auf Basis dieser Sonde wurde entwickelt.

## Organische Leuchtdioden

P. Zacharias, M. C. Gather, A. Köhnen,  
N. Rehmann, K. Meerholz\* **4098–4101**

- █ Photoprogrammable Organic Light-Emitting Diodes

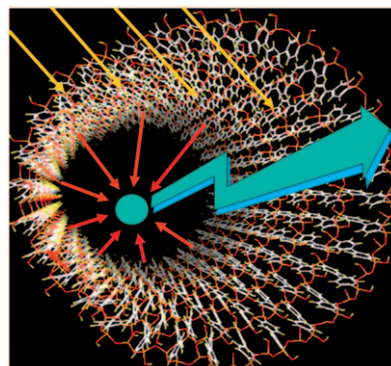
**Licht im Speicher:** Der Einbau eines vernetzbaren photochromen Dithienylperfluorcyclopentens (DTE) in organische Leuchtdioden (OLEDs) ermöglicht die Individualisierung der Emissionsfläche, z. B. für die Anwendung in Anzeigeelementen. Das Arbeitsprinzip beruht auf dem Schalten der Injektionsbarriere für Löcher (positive Ladungsträger). Sehr große AN/AUS-Verhältnisse von bis zu 3000 für die Stromstärke und die Elektrolumineszenz wurden erreicht.



## Lichtsammelsysteme

S. Inagaki,\* O. Ohtani, Y. Goto,  
K. Okamoto, M. Ikai, K. Yamanaka, T. Tani,  
T. Okada **4102–4106**

- █ Light Harvesting by a Periodic Mesoporous Organosilica Chromophore



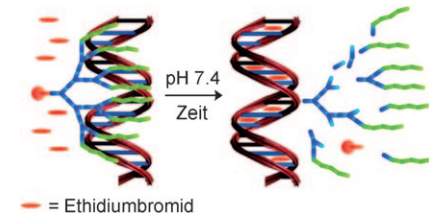
**Licht-Aquädukt:** Periodische mesoporöse Organosilicate absorbieren wegen der dichtgepackten organischen Chromophore in den Porenwänden Licht sehr stark. Die durch 125 Biphenylgruppen in den Porenwänden absorbierte Lichtenergie wird mit fast 100% Quantenausbeute zu einem einzigen Cumarin-1-Molekül in den Mesokanälen geleitet, was eine signifikante Erhöhung der Emission des Cumarin-1-Farbstoffs zur Folge hat.

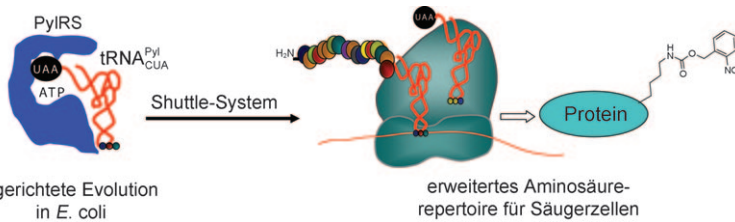
## Bindung an DNA

D. J. Welsh, S. P. Jones,  
D. K. Smith\* **4107–4111**

- █ „On-Off“ Multivalent Recognition: Degradable Dendrons for Temporary High-Affinity DNA Binding

**Jetzt binden – jetzt nicht!** Durch chemischen Abbau eines dendritischen Gerüsts, d. h. das Aufbrechen einer multivalenten Ligandenanordnung in kleinere Fragmente, können multivalente Wechselwirkungen mit DNA „ausgeschaltet“ werden, wodurch ein Molekül temporär mit einer hohen Affinität für ein biologisches Ziel versehen werden kann. Dieses Konzept ist von Bedeutung für die Entwicklung neuer synthetischer Systeme, die in biologische Abläufe eingreifen.



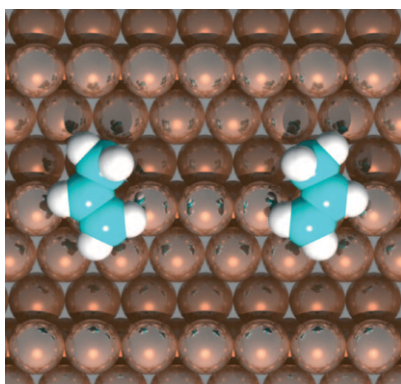


**Ein Shuttle-System** zur Verwendung von in *E. coli* selektierten Aminoacyl-tRNA-Synthetasen (aaRSs) für den Einbau von nichtnatürlichen Aminosäuren in Säugerzellen wurde entwickelt. Eine in *E. coli* selektierte Mutante der Pyrrolysyl-tRNA-Synthetase (PylRS) aminoacyliert selektiv

eine Nonsense-Suppressor-tRNA mit einem photoaktivierbaren Lysinderivat. Durch Übertragung dieses orthogonalen tRNA-aaRS-Paars in Säugerzellen gelang es, diese nichtnatürliche Aminosäure selektiv in Proteine einzubauen.

**Die Translation kleiner Peptide am Ribosom** kann diesem eine Resistenz gegen Macrolidantibiotika verleihen. Zur Aufklärung dieses und ähnlicher Phänomene sind stabile RNA-Peptid-Konjugate, die Peptidyl-tRNA imitieren, wünschenswert, besonders für die strukturbiologische Untersuchung von Ribosomen. Eine flexible Festphasensynthesestrategie macht diese Konjugate nun in effizienter Weise zugänglich, ohne Beschränkungen bezüglich der RNA- und Peptidsequenz.

**Chiralitätschamäleon:** Durch inelastisches Elektronentunnellen lassen sich einzelne Chloronitrobenzol (CINB)-Moleküle, die in zufälliger Verteilung auf Au(111) adsorbiert wurden, in eine gewünschte enantiomere Form (r oder l, siehe STM-Bilder und Kugel-Stab-Modelle) und einen bestimmten Rotationszustand überführen. Weil sich die Schwellenspannungen für den Wechsel der Chiralität (260 mV) und die Rotation (380 mV) deutlich unterscheiden, können beide Prozesse getrennt ausgelöst werden.

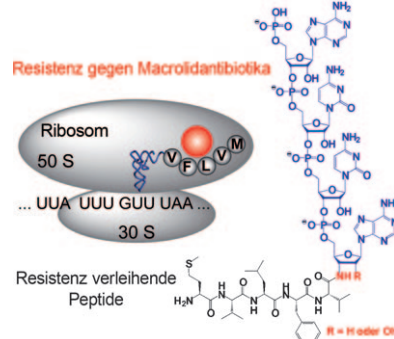


**Chiralitätsumkehr durch Elektronen:** Probenmoleküle bilden chirale Komplexe bei Adsorption auf einer Kupferoberfläche. Inelastisch gestreute Tunnellektronen aus der Spitze eines Rastertunnelmikroskops regen molekulare Schwingungen an, die zur Rotation oder Diffusion des Adsorbs auf der Oberfläche führen. Bei höheren Tunnelströmen wird auch die Umwandlung in die entgegengesetzte Konfiguration beobachtet.

## Erweiterter genetischer Code

P. R. Chen, D. Groff, J. Guo, W. Ou, S. Cellitti, B. H. Geierstanger,\* P. G. Schultz\* **4112–4115**

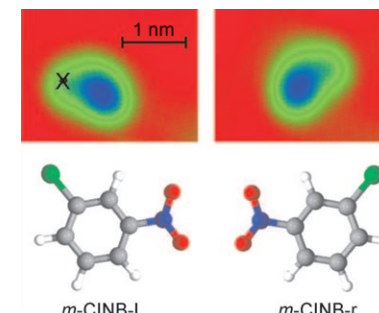
A Facile System for Encoding Unnatural Amino Acids in Mammalian Cells



## RNA-Peptid-Konjugate

H. Moroder, J. Steger, D. Gruber, K. Fauster, K. Trappi, V. Marquez, N. Polacek, D. N. Wilson, R. Micura\* **4116–4120**

Non-Hydrolyzable RNA–Peptide Conjugates: A Powerful Advance in the Synthesis of Mimics for 3'-Peptidyl tRNA Termini



## Manipulation einzelner Moleküle

V. Simic-Milosevic, J. Meyer, K. Morgenstern\* **4121–4124**

Chirality Change of Chloronitrobenzene on Au(111) Induced by Inelastic Electron Tunneling



## Chiralität

M. Parschau, D. Passerone, K.-H. Rieder, H. J. Hug, K.-H. Ernst\* **4125–4129**

Umwandlung der absoluten Konfiguration einzelner Adsorbatkomplexe

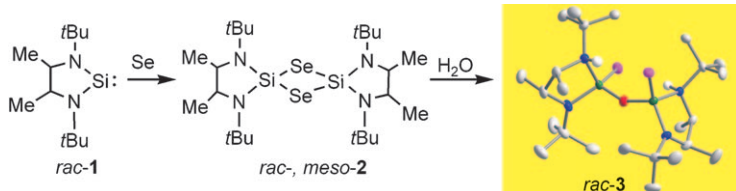


## Silaselenone

A. Mitra, J. P. Wojcik, D. Lecoanet, T. Müller,\* R. West\* **4130–4133**



Ein Bis(silaselenon) mit zwei donorstabilisierten Si=Se-Bindungen, erhalten durch eine unerwartet stereokonvergente Hydrolyse eines Diselenadisiletans



**Hydrolyse mit Wasser** überführt das durch Umsetzung von racemischem Silylen **1** mit elementarem Selen gebildete Diselenadisiletan **2** in das erste Bis(silaselenon) (**3**; siehe Struktur; grau C, weiß H, blau N,

rot O, violett Se, grün Si;  $d(\text{Si=Se}) = 215 \text{ pm}$ ). Diese Reaktion verläuft stereokonvergent: Aus der Mischung der *rac*- und *meso*-Isomere von **2** wird nur racemisches **3** erhalten.



Hintergrundinformationen sind unter [www.angewandte.de](http://www.angewandte.de) erhältlich (siehe Beitrag).



Eine Videodatei ist als Hintergrundinformation unter [www.angewandte.de](http://www.angewandte.de) oder vom Korrespondenzautor erhältlich.

## Wer? Was? Wo? Produkt- und Lieferantenverzeichnis

Sie können Ihren Firmeneintrag im „Wer? Was? Wo?“ der Zeitschrift *Angewandte Chemie* in jeder Ausgabe starten.

Nähere Informationen senden wir Ihnen auf Wunsch gerne zu.

Wiley-VCH Verlag – Anzeigenabteilung

Tel.: 0 62 01 - 60 65 65

Fax: 0 62 01 - 60 65 50

E-Mail: [MSchulz@wiley-vch.de](mailto:MSchulz@wiley-vch.de)

## Service

**Top-Beiträge der Schwesternzeitschriften der Angewandten** **3956–3957**

**Stichwortregister** **4134**

**Autorenregister** **4135**

**Vorschau** **4139**

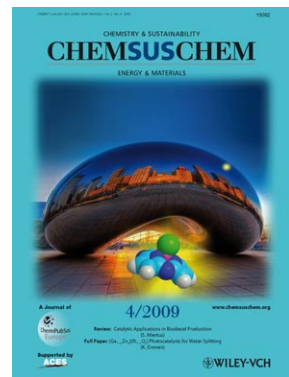
## Weitere Informationen zu:



[www.chemasianj.org](http://www.chemasianj.org)



[www.chemmedchem.org](http://www.chemmedchem.org)



[www.chemsuschem.org](http://www.chemsuschem.org)

# Berichtigung

Im Methodenteil dieser Zuschrift auf S. 2937 wurde eine fehlerhafte Gleichung (1) abgedruckt. Die korrekte Gleichung lautet:

$$\Gamma_{(T)} = \Gamma_{(0K)} + \frac{\theta_{OH}}{2} \left[ TS_{(T)}^{\circ} - H_{(T)}^{\circ} + H_{(0K)}^{\circ} - kT \ln \left( \frac{P}{P^{\circ}} \right) \right] \quad (1)$$

Pseudo-Bridging Silanols as Versatile Brønsted Acid Sites of Amorphous Aluminosilicate Surfaces

C. Chizallet,\* P. Raybaud — 2935–2937

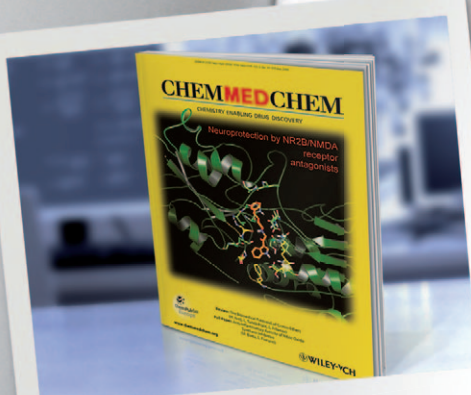
Angew. Chem. 2009, 121

DOI 10.1002/ange.200804580



With its efficient and thorough peer-review system, ChemMedChem has quickly established itself as an attractive venue for reporting high-quality work in medicinal chemistry.

Steven Ley (University of Cambridge, UK)



[www.ChemMedChem.org](http://www.ChemMedChem.org)



WILEY-VCH